

## 6 - 9 中部・北陸地方の地殻変動

### Crustal Movement in the Chubu and the Hokuriku Regions

国土地理院  
Geographical Survey Institute

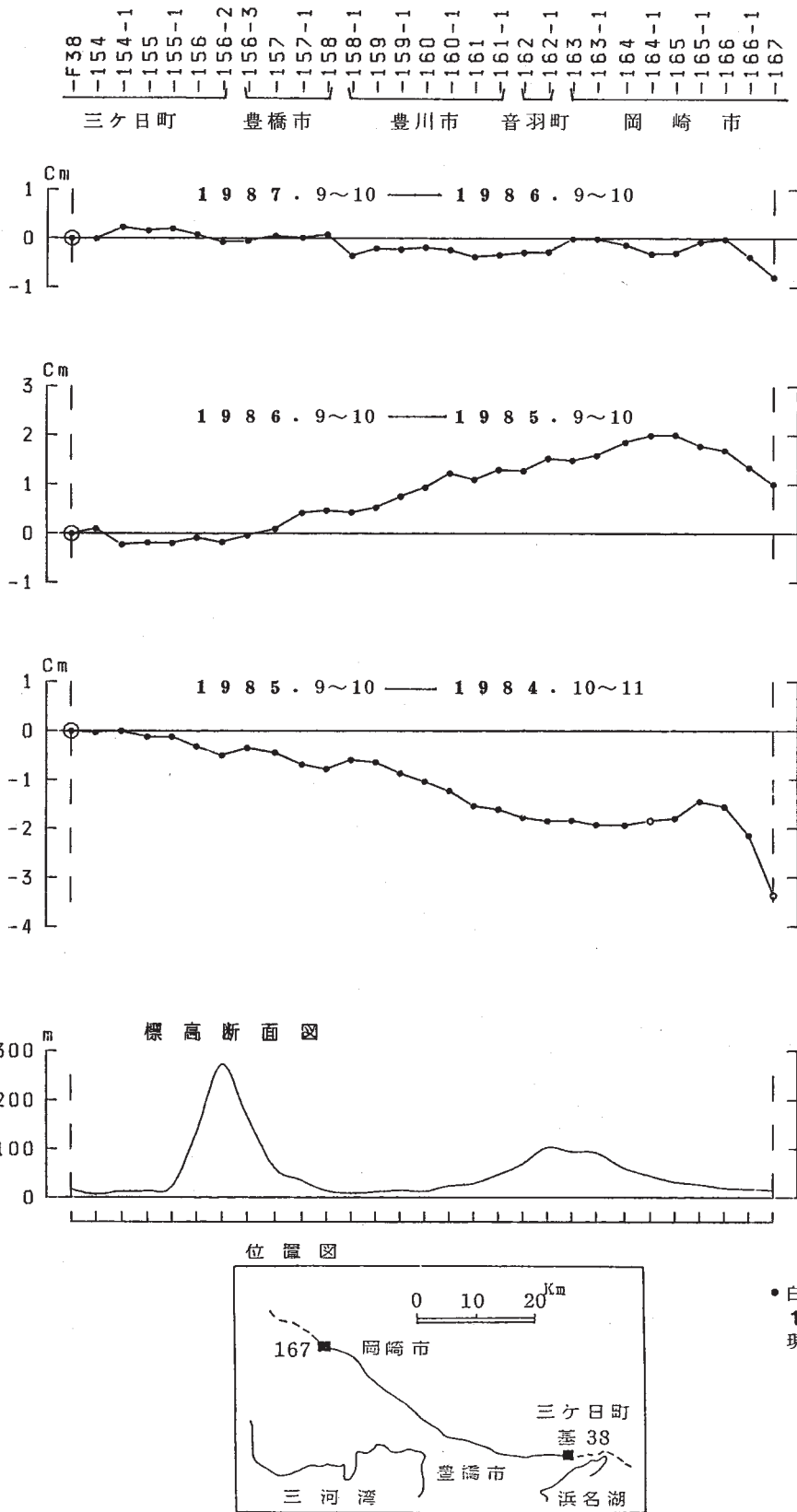
三ヶ日～岡崎間の水準測量結果を第1図に示す。前回及び前々回の結果を合わせたような変動になっている。

第2図、第3図は跡津川断層における精密変歪測量結果である。第2図の跡津川断層中東部の結果では、跡津川断層の右横ずれ断層運動を示唆する変動が観測されている。

第4図は高田菱形基線測量結果である。東西圧縮歪が卓越しており、この付近の広域歪場と調和している。

#### 参 考 文 献

- 1) 国土地理院：北陸地方の地殻変動，連絡会報，**31**（1984），412 - 419.
- 2) 国土地理院：中部・北陸地方の地殻変動，連絡会報，**33**（1985），400 - 414.
- 3) 国土地理院：中部地方の地殻変動，連絡会報，**37**（1987），341 - 344.
- 4) 国土地理院：日本の地殻水平歪（1987），49.

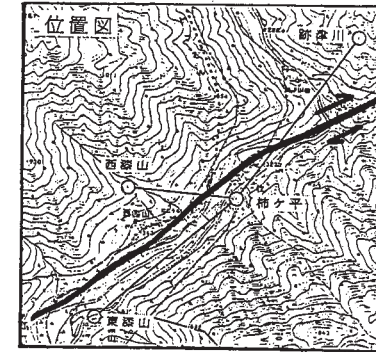


第1図 三ヶ日～岡崎間の上下変動

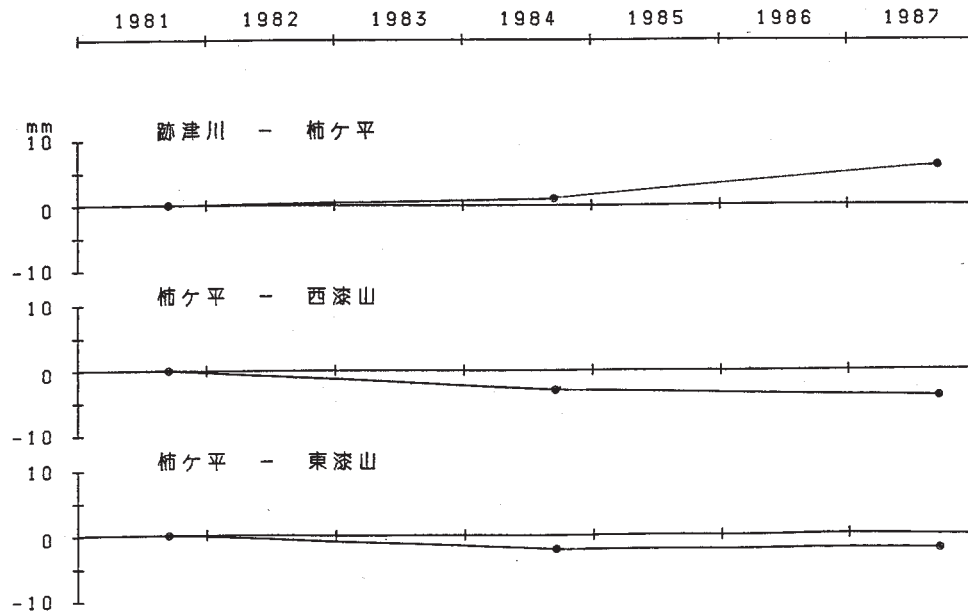
Fig. 1 Level changes along the route from Mikabi to Okazaki.

| 測定年<br>区 間 | 9月13日 9月14日 9月17日 |       |       |       |       |
|------------|-------------------|-------|-------|-------|-------|
|            | 1981. 9           | 84. 9 | 84. 9 | 84. 9 | 87. 9 |
| 跡津川 - 柿ヶ平  | 1621.686          | .687  | .688  | m---  | .692  |
| 柿ヶ平 - 西漆山  | 825.994           | .991  | .992  | .991  | .990  |
| 柿ヶ平 - 東漆山  | 1411.868          | .866  | .866  | .866  | .866  |

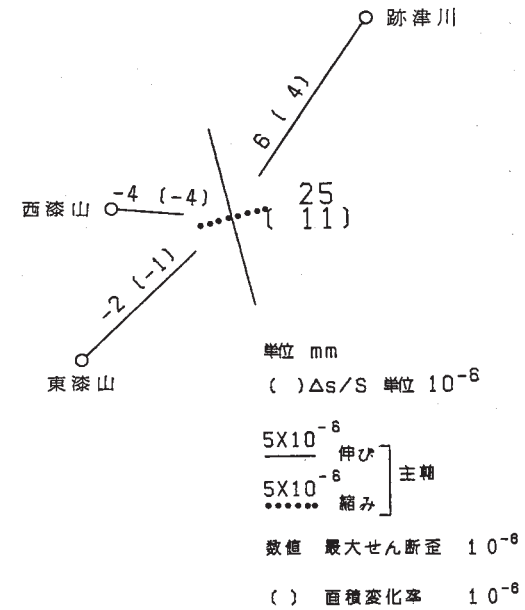
測器：メコメーター ME3000



辺長の経年変化



辺長変化・水平歪  
1987.9 — 1981.9



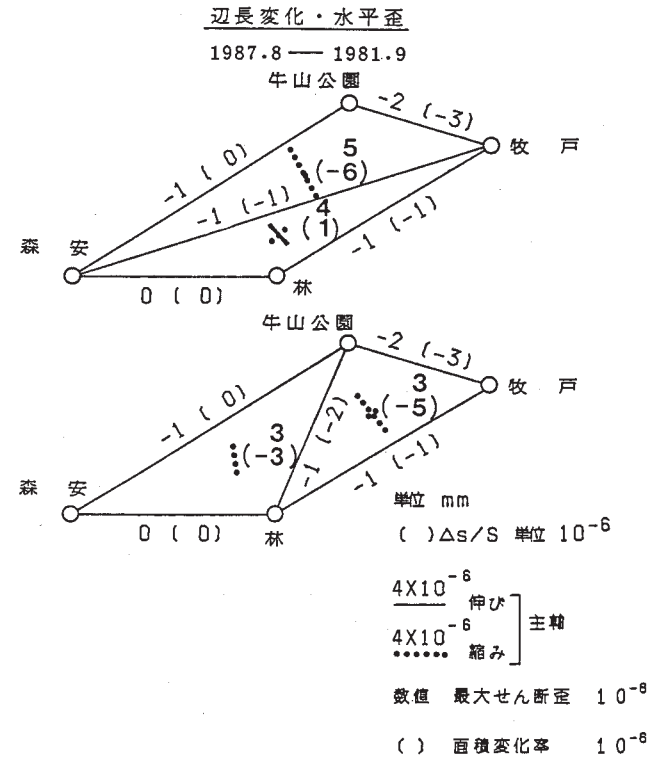
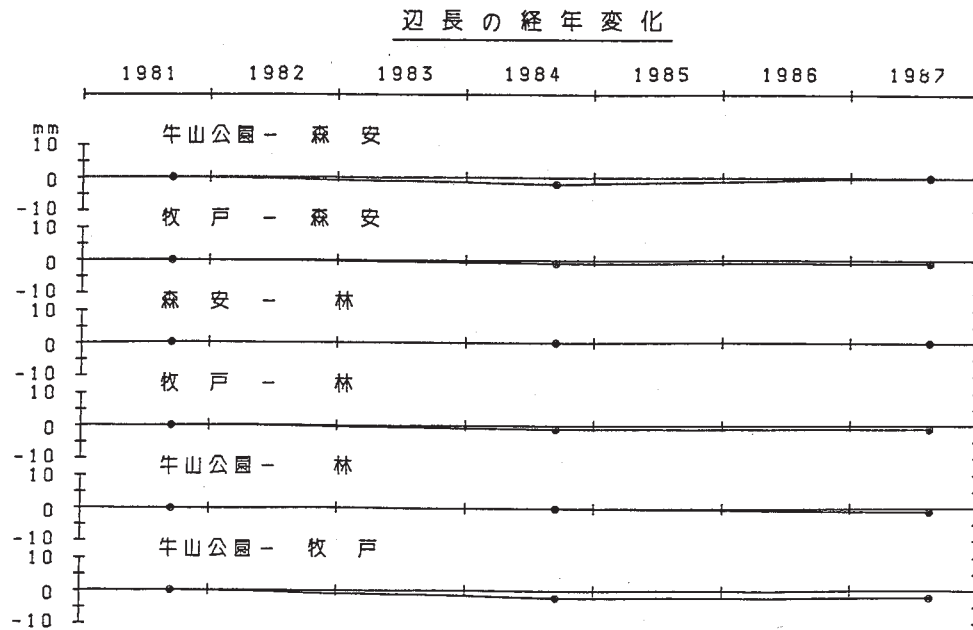
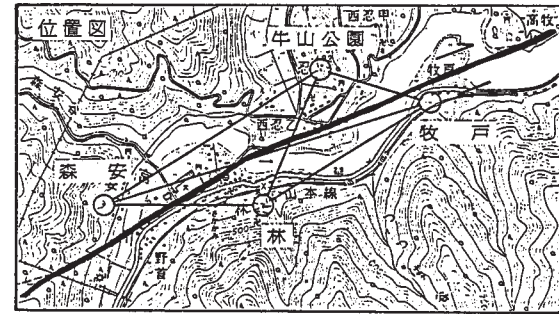
第2図 跡津川精密変歪測量結果(1)

Fig. 2 Results of precise distance measurements at the Atotsugawa radial baselines (1).

| 測定年<br>区 間 | 1981. 9                | 84. 9             | 87. 8             |
|------------|------------------------|-------------------|-------------------|
| 牛山公園- 森 安  | 1345. <sup>m</sup> 417 | <sup>m</sup> .415 | <sup>m</sup> .417 |
| 牧 戸 - 森 安  | 1844.105               | .104              | .104              |
| 森 安 - 林    | 875.693                | .693              | .693              |
| 牧 戸 - 林    | 997.698                | .697              | .697              |
| 牛山公園- 林    | 691.676                | .676              | .675              |
| 牛山公園- 牧 戸  | 667.907                | .905              | .905              |

※表の結果は網平均値

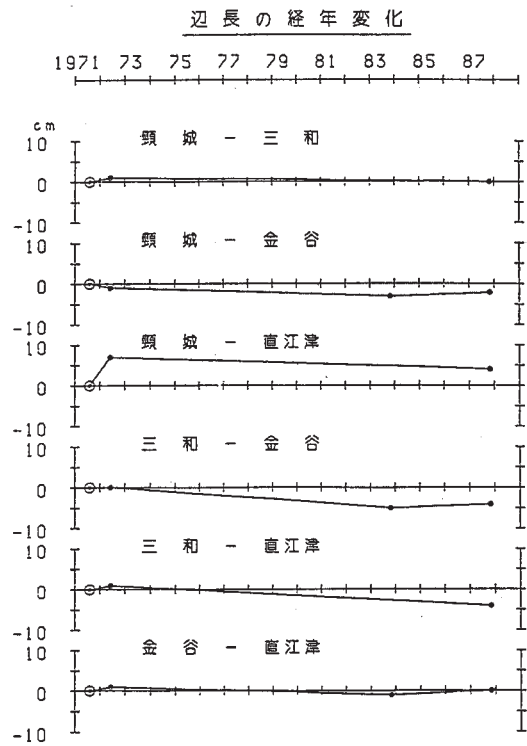
※測器：メコメーター ME3000



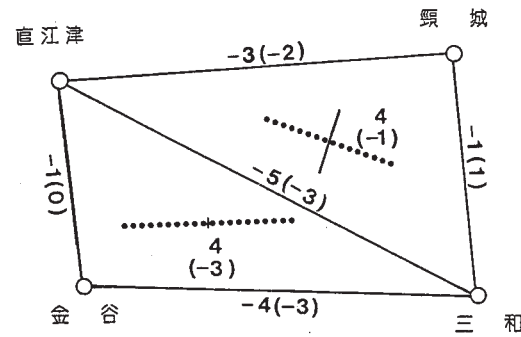
第3図 跡津川精密変歪測量結果(2)

Fig. 3 Results of precise distance measurements at the Atotsugawa radial baselines (2).

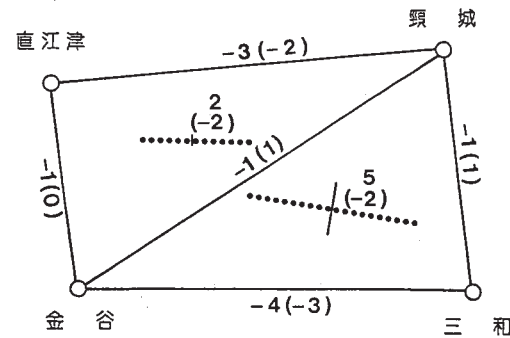
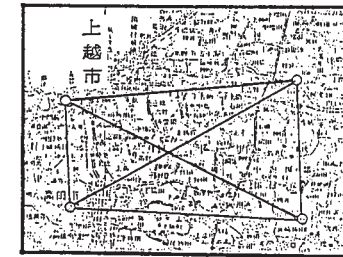
| 測定年<br>区間 | 1971.06  | 72.04                 | 83.09            | 87.09            |
|-----------|----------|-----------------------|------------------|------------------|
|           | 頸城 - 三和  | 7837. <sup>m</sup> 38 | <sup>m</sup> .39 | <sup>m</sup> --- |
| 頸城 - 金谷   | 14318.83 | .82                   | .80              | .81              |
| 頸城 - 直江津  | 13014.40 | .47                   | ---              | .44              |
| 三和 - 金谷   | 13006.49 | .49                   | .44              | .45              |
| 三和 - 直江津  | 15427.09 | .10                   | ---              | .05              |
| 金谷 - 直江津  | 6666.22  | .23                   | .21              | .22              |



辺長変化・水平歪  
1987.9 — 1972.4



位置図



単位 cm  
( ) Δs/s 単位 10<sup>-6</sup>  
1×10<sup>-6</sup> 伸び } 主軸  
1×10<sup>-6</sup> 縮み }  
数値 最大せん断歪 10<sup>-6</sup>  
( ) 面積変化率 10<sup>-6</sup>

第4図 高田菱形基線測量結果

Fig. 4 Results of precise distance measurements at the Takada rhombus baselines.